

I-77 任意形状の孔と有する異方性弹性率内の応力状態

京都大学・工学部 正員・平島健一
京都大学・工学部 正員・丹羽義次

1. まえがき

梁の内部の応力分布に及ぼす孔の影響を求める問題は従来より、幾人かの研究者により解析が行なわれている。例えば、辻¹⁾, Savin²⁾, Joseph and Brock³⁾, Heller⁴⁾, Heller⁵⁾, 山崎・後藤⁶⁾およびDerestewitz⁷⁾等の研究があげることができる。これららの研究では純曲げ、または片持曲げとかけ算方弹性率内の円形、半円形、正三角形、正方形、矩形、多角形等の孔周縁での応力状態について数値計算がなされてくる。これららのいづれの場合においても、孔の軸は弹性率の長軸に直で、作用荷重の軸に平行であり、また孔径は梁の橋高に比し充分に小さないと仮定して計算されてくる。このよろに仮定すると、孔と自由境界とする単結合の平板(無限板)が曲げモーメントおよびせん断力をうけた場合の孔周囲の平面応力状態を求めればよいことになる。

これららの研究者による理論計算は写像関数の多項式の項数として数項で表わされ孔と対象としているため、複雑な形状の孔、もしくはより正確に孔形状と表やすために項数を多く採用して計算を行なうことはそのままでは可能である。

著者らは一般的な異方性弹性材料でできた梁が純曲げ、片持曲げその他の外荷重をうけた場合に梁内の任意形状の孔周辺部における応力分布を求める試みを行なった。著者らの方では、任意形状の孔を表やす写像関数の項数を理論的に制限なくとってそのまますぐに対応する計算ができる理論構成が行なわれている。

この論文に述べる異方性板の曲げモーメント、せん断力による任意形状の孔周囲の応力を求めることは、最近航空機体その他の工学分野で非常に重要な役割とはなつてある複雑強化複合材料のような異方性材料の力学的挙動を把握するために重要な課題の一つであり、異方性梁が孔をもたない場合の問題は Lekhnitskii⁸⁾, Silverman⁹⁾, Hashin¹⁰⁾等により理論研究が行なわれている。なおまた、Lekhnitskiiは ovaloid 形の孔と有する異方性弹性板(無限板)に純曲げの外荷重応力が作用する場合の孔周縁の応力分布を複数法により近似解を求めておられるが、著者らの方では純曲げに限らずさらに複雑な外荷重応力の作用に対しても厳密解が求められる。

この論文では従来までの研究と同様に梁内に設ける孔の外径は梁の橋高に比し充分に小さいものとして理論解析を行なつたが、これに因連して孔が橋高に比して充分大きくなつた場合の誤差の評価についても数値的に検討した。

2. 異方性弹性率に対する基礎式

異方性弹性板に対する一般化した Hooke の法則はつきのように与えられる。

$$\left. \begin{aligned} E_x &= a_{11}\sigma_x + a_{12}\sigma_y + a_{16}\tau_{xy} \\ E_y &= a_{21}\sigma_x + a_{22}\sigma_y + a_{26}\tau_{xy} \\ \gamma_{xy} &= a_{16}\sigma_x + a_{26}\sigma_y + a_{66}\tau_{xy} \end{aligned} \right\} \quad (1)$$

いま、異方性弹性板内の応力を求めるために二つの複素関数：

$$Z_R = X + \mu_k Y \quad , \quad (k=1, 2) \quad (2)$$

を導入す。 μ_1, μ_2 は(1)式で表わされる異方性弹性材料に対する式の特性方程式:

$$\alpha_{11}\mu^4 - 2\alpha_{16}\mu^3 + (\alpha_{11} + \alpha_{66})\mu^2 - 2\alpha_{16}\mu + \alpha_{66} = 0 \quad (3)$$

の複素根である。直交デカルト座標系(X, Y)内の応力成分 $\sigma_x, \sigma_y, \tau_{xy}$ は(2)の複素解析解を用いて、あるいは中(Z)の項によって与えられる。⁸⁾

$$\left. \begin{aligned} \sigma_x &= 2Re[\mu_1^2 \phi_1'(z_1) + \mu_2^2 \phi_2'(z_2)] \\ \sigma_y &= 2Re[\phi_1'(z_1) + \phi_2'(z_2)] \\ \tau_{xy} &= -2Re[\mu_1 \phi_1'(z_1) + \mu_2 \phi_2'(z_2)] \end{aligned} \right\} \quad (4)$$

さて、孔のない異方性梁の自由端に集中荷重 P の片持曲げの外荷重が作用した場合のこの梁内に生じる応力は次式で与えられる。^{8~10)}

$$\left. \begin{aligned} \sigma_x^0 &= \frac{P}{l} (a_0 - x)(y + \varepsilon_0) + \frac{P}{l} \cdot \frac{\alpha_{16}}{\alpha_{11}} \left\{ \frac{R^2}{3} - (y + \varepsilon_0)^2 \right\} \\ \sigma_y^0 &= 0 \quad , \quad \tau_{xy}^0 = -\frac{P}{l} \left\{ R^2 - (y + \varepsilon_0)^2 \right\} \end{aligned} \right\} \quad (5)$$

以上より、片持曲げにおける任意形状の孔と有する異方性梁内の応力状態はつきのようにして計算される。すなやち、(5)式で与えられる応力式から孔の位置するはずの仮想の境界周線における法線方向の直応力およびせん断応力を求め、それを打ち消すように外荷重を、この孔をもつ梁の孔周線に作用させた場合の応力状態を(4)式により求めよ。この応力成分と(5)式で与えられる応力成分を重ね合わせれば所期の目的の問題が解け。

3. 写像関数および境界条件

Fig. 1 に示したような任意形状の孔の境界を表す式が次式で与えられるものとする。

$$\left. \begin{aligned} x_0 &= a_0 \cos \theta + \sum_{m=1}^V (d_m \cos m\theta + \beta_m \sin m\theta) \\ y_0 &= a_0 \sin \theta - \sum_{m=1}^V (d_m \sin m\theta - \beta_m \cos m\theta) \end{aligned} \right\} \quad (6)$$

$= i\zeta, d_m, \beta_m (m=0, 1, \dots, V)$ は孔の断面形状によって決まる定数であり、 V は正の整数を表す。

任意形状の孔と有する梁内に直交デカルト座標系(X, Y)を設けよと、 $=$ の座標平面 $Z_0 (= X + iY)$ 内の孔の境界およびその外部領域を

$$Z_0 = a_0 \zeta + \sum_{m=1}^V (d_m + i\beta_m) \zeta^{-m} \quad (7)$$

によつて、 ζ -平面上の単位円上およびその外部に写像することができる。¹¹⁾ 同様に、写像関数:

$$\begin{aligned} Z_R &= \frac{1}{2} \left[a_0 \{ (1-i\mu_k) \zeta_k + (1+i\mu_k) \zeta_k^{-1} \} + \sum_{m=1}^V \{ (d_m + i\mu_k \beta_m) + i(\mu_k d_m - \beta_m) \} \zeta_k^{-m} \right] \\ &\quad + \sum_{m=1}^V \{ (d_m + i\mu_k \beta_m) - i(\mu_k d_m - \beta_m) \} \zeta_k^{-m} \quad , \quad (k=1, 2) \end{aligned} \quad (8)$$

によつて、 Z_R -平面上の孔の境界上およびその外部を ζ_R -平面上の単位円上およびその外部に写像する。

と $= 3$ で、(6)式で与えられるような任意形状の孔に沿つて生じる法線方向の直応力とねじれ、接線方向の直応力と τ_{xy} およびせん断応力を τ_{xy} とすれば、応力の基礎関係より次式が成立する。

$$\left. \begin{aligned} \sigma_x + \sigma_y &= \sigma_x + \sigma_y \\ \sigma_x - \sigma_y + 2i\tau_{xy} &= \frac{i}{\zeta} \frac{dz_0}{d\zeta} \frac{d\bar{z}_0}{d\bar{\zeta}_0} (\sigma_x - \sigma_y + 2i\tau_{xy}) \end{aligned} \right\} \quad (9)$$

上式中の右辺の $\sigma_x, \sigma_y, \tau_{xy}$ は(4)式によって与えられる応力成分である。しかし(4)式の複素関数 $\phi_k(z_k)$ は孔の境界に作用する外荷重応力の各座標軸方向の成分 X_n, Y_n が与えられれば、次式:

$$2 \operatorname{Re} [\phi_1(z_1) + \phi_2(z_2)] = \int Y_n dS \quad (10)$$

$$2 \operatorname{Re} [\mu_1 \phi_1(z_1) + \mu_2 \phi_2(z_2)] = - \int X_n dS$$

によって計算することができる。レガリに、 X_n, Y_n は半無限の説明から(5)式の応力成分を用いて式のようにもとまるのは容易に理解できる。

$$\left. \begin{aligned} X_n &= -[\bar{\alpha}_x^0 \cos(n, x_0) + \bar{\gamma}_{xy}^0 \cos(n, y_0)] \\ Y_n &= -[\bar{\gamma}_{xy}^0 \cos(n, x_0) + \bar{\alpha}_y^0 \cos(n, y_0)] \end{aligned} \right\} \quad (11)$$

すなはち、これは孔の境界に直角な孔の中心側に向う単位ベクトルである。いま、 S を孔の境界線上の時計回りの単位接線ベクトルとすれば、(11)式中の方位角 θ の関にはつきの関係が成立する。

$$\cos(n, x_0) = -\frac{dy_0}{ds}, \quad \cos(n, y_0) = \frac{dx_0}{ds} \quad (12)$$

したがって、(11), (12)および(6)式を使つて(10)式の右辺の積分式を計算し、 $\phi_1(z_1), \phi_2(z_2)$ を未知数とする複素体の連立一元方程式を解けばよい。しかし、以後の計算が可能なよう(10)式の右辺の積分式は三角級数に展開された形であつてあくまでもある。次節では、主として集中荷重 P の片持曲げをうける梁に対する二、三の数値計算例を示せう。

4. 数値計算例

数値計算に際して、Savkin, Derestewicz の結果と比較しやすくなるように、 $l = 10R = \frac{4}{3}a_0 = \pi y, z = 0$ にて、 y 軸方向の孔径 b は梁の幅高の $\frac{1}{4}$ (すなはち $b = \frac{R_0}{2}$)とした。
Fig. 2 は等方性梁内の正方形孔の場合の孔縁応力 σ_{ho} の分布を展開図として示したものである。 $\theta = \pi/2$ は孔の隅角部の丸み ρ をパラメータとして図示している。この結果は Derestewicz の示した結果とはほぼ同じような値となる。また、著者らの結果と他のとでは厚壁肉歓の係数が異なるために、円孔の場合と徐々に計算結果にやがての違いがみられる。⁷⁾ Fig. 3 は Fig. 2 の孔が梁の中心軸より上方に $\epsilon_0 = \frac{R_0}{4}$ だけ偏心した場合の例である。

以上は等方性梁に対する例であるが、つきに直交異方性梁に対する計算結果の一例を示せば、Fig. 4, 5 のようである。Fig. 4 は円孔の場合の孔縁応力 σ_{ho} を主弾性係数比 $e (= E_1/E_2)$ をパラメータとして示したものである。

この例では主弾性軸 E_1, E_2 の座標軸 x, y との反時計回りの傾斜角 φ とし $\varphi = 45^\circ$ の場合を示してある。なお、ボアソン比は $\nu_1 = 0.30$ 、せん断弾性体 G の係数は先端で定義された値を採用した。

$$\frac{1}{G} = \frac{1}{E_1} + \frac{1}{E_2} + \frac{z\nu_1}{E_1} \quad (13)$$

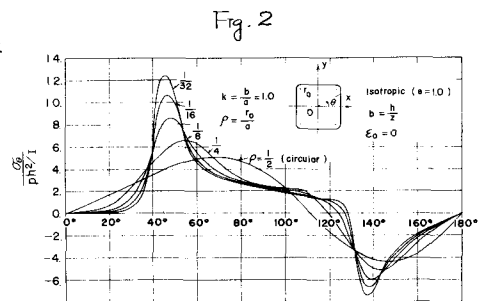


Fig. 2

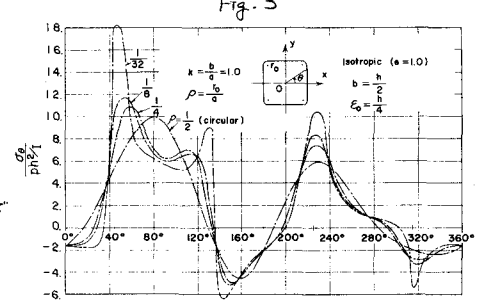


Fig. 3

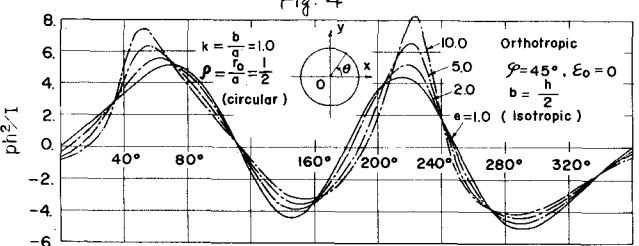


Fig. 4

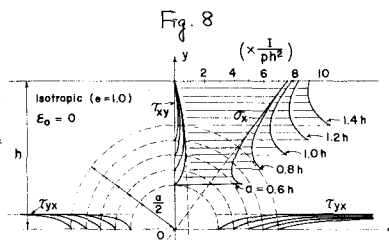
Fig.5は正方形孔($P=\frac{1}{8}$)が梁の中心軸より上側に $\epsilon_0=\frac{h}{4}$ だけ偏心した場合の孔縁応力 σ_{xy} の分布の例である。
=の場合も $\varphi=45^\circ$ としたものを図示した。

Fig.6は上端に等分布荷重 p の半持曲げモーメントの梁の場合の一計算例を示したものである。図には円孔および正方形孔($P=\frac{1}{8}$)の場合の σ_{xy} の分布が示されており、点線が $\epsilon_0=-\frac{h}{4}$ 、一点鎖線で示したもののが $\epsilon_0=\frac{h}{4}$ の場合である。ただし、この図において $\epsilon_0=-\frac{h}{4}$ の偏心孔の場合、 $\epsilon_0=\frac{h}{4}$ のものとの比較は簡単によく、右のヒンの方が時計方向にあり、さらに σ_{xy} の符号も並の符号をつけて図示を行なってある。

以上までの計算例は孔周縁の応力 σ_{xy} についてのみ図示したが、孔縁以外の位置における応力を求めたものの例がFig.7, 8である。

Fig.7は偏心円孔($\epsilon_0=\frac{h}{4}$)とともに直交異方性(=3.0, $\varphi=45^\circ$)の軸線上の応力および σ_{xy} の分布図である。図中の細い点線は孔がないときに梁内に生じる応力 σ_x^0 , σ_y^0 の分布である。Fig.8は等方性梁内に設けた円孔の径と徐々に大きくなっている場合の座標軸線上の応力成分をプロットしたものである。

これらの結果についての考察は紙面の都合上、講演会当日に譲る。



参考文献:

- 1) 辻二郎, "Philosophical Magazine, Vol. 9, No. 56 (1930), pp. 210-224"
- 2) G. N. Savin, "Stress Concentration Around Holes" (Eng. Trans.), Pergamon Press (1961), pp. 87-101
- 3) J. A. Joseph and J. S. Brock, "Journal of Applied Mechanics, Vol. 17 (1950), pp. 353-358"
- 4) S. R. Heller, Jr., "Proc., 1st U.S. National Congress of Applied Mechanics, Chicago (1951), pp. 239-245"
- 5) S. R. Heller, Jr. et al., "Proc., 4th U.S. National Congr. of Appl. Mech., Berkeley (1962), pp. 489-496"
- 6) 山崎徳也・後藤亮吉編, 大川大学工学雑誌, 41巻6号(1968), pp. 931-938, 42巻2号(1969), pp. 121-128
- 7) H. Deresiewicz, "Journal of the Engineering Mech., ASCE, Vol. 94, No. EM5 (1968), pp. 1183-1214"
- 8) S. G. Lekhnitskii, "Anisotropic Plates" (Eng. Trans.), Gordon and Breach (1968), pp. 57-62, pp. 235-272
- 9) I. K. Silverman, "Journal of the Engineering Mech., ASCE, Vol. 90, No. EM5 (1964), pp. 293-319"
- 10) Z. Hashin, "Journal of Applied Mechanics, Vol. 34 (1967), pp. 257-262"

Fig. 5

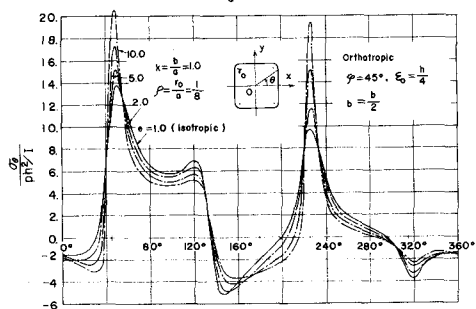


Fig. 6

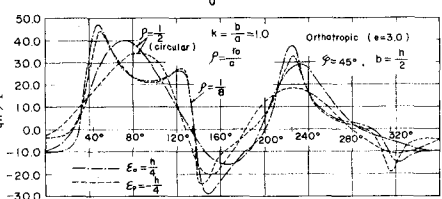


Fig. 7

